

ДИСКРЕТНОЕ УПРАВЛЕНИЕ В ДВУХКОНТУРНОЙ СИСТЕМЕ

Опейко О.Ф., Несенчук А.А.

Белорусский национальный технический университет,
Минск, Республика Беларусь

Известен синтез управления электроприводами в предположении непрерывности системы, основанный на последовательной оптимизации контуров.

Целью работы является синтез и анализ двухконтурной подсистемы управления скоростью с дискретными робастными ПИ-регуляторами. В электроприводах управление формируется в микроконтроллере за время T_C интервала дискретности. Структура на рисунке 1 содержит дискретные ПИ- регуляторы $K_d(z) = K_q(z) = b_1 + b_0 T_C/(z-1)$ тока, потокосцепления ротора $K_\Psi(z)$ и скорости $K_\omega(z)$ и непрерывный объект управления - асинхронный двигатель (АД).

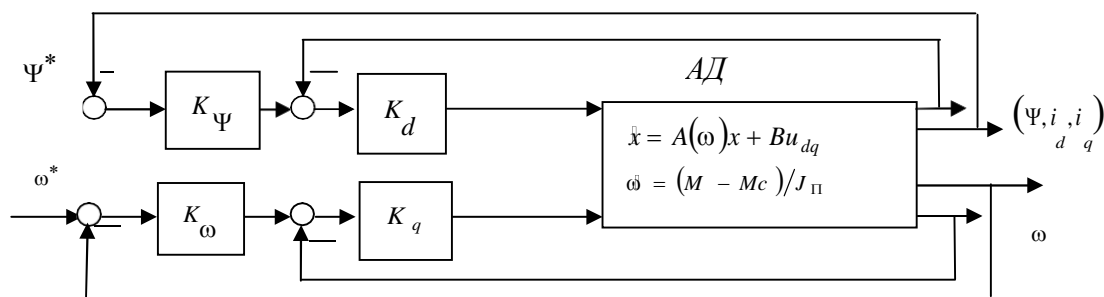


Рисунок 1 – Структура системы

Предполагая, что при управлении скоростью ω потокосцепление Ψ постоянно, перекрестными связями между каналами внутри объекта АД пренебрегают.

Синтез ПИ-регуляторов основан на расположении корней $z_i = \sigma_i$ ($i = 1, \dots, 4$) или близких к ним действительных либо комплексных значений $z_{i,i+1} = \sigma_i \pm j\nu_i$ внутри единичного круга на плоскости z , что обеспечивает процессы, близкие к апериодическим. Дискретная передаточная функция (ДПФ) $W_s(z)$ синтезированной замкнутой подсистемы преобразуется [1], переходя к новой переменной $q = (z-1)$. Учитывая, что если $s < 0, 2/T_C$ то $q \approx T_C s$, к характеристическому полиному $N_s(q) = q^4 + a_1 q^3 + a_2 q^2 + a_3 q + a_4$ применимы методы анализа, известные для непрерывных систем.

Корневой портрет системы управления определяется семейством характеристических полиномов

$$P_s(q) = \{p(q) = a_0 q^n + a_1 q^{n-1} + \dots + a_n, : a_0 > 0, j = 0, \dots, n\}, \quad (1)$$

где вектор коэффициентов $a = (a_0, a_1, \dots, a_{n-1}, a_n)$ принадлежит интервальному множеству неопределенности $A = \{a \in R^{n+1} : \underline{a}_j \leq a_j \leq \bar{a}_j\}$.

Динамика системы управления приводом описывается семейством дискретных полиномов вида

$$N_s(q) = q^4 + a_1 q^3 + (a_{20} + b_p a_{2b}) q^2 + b_p a_3 q + b_p a_4, \quad (2)$$
 где b_p – изменяющийся параметр объекта, $b_p \in [\underline{b}_p, \bar{b}_p]$.

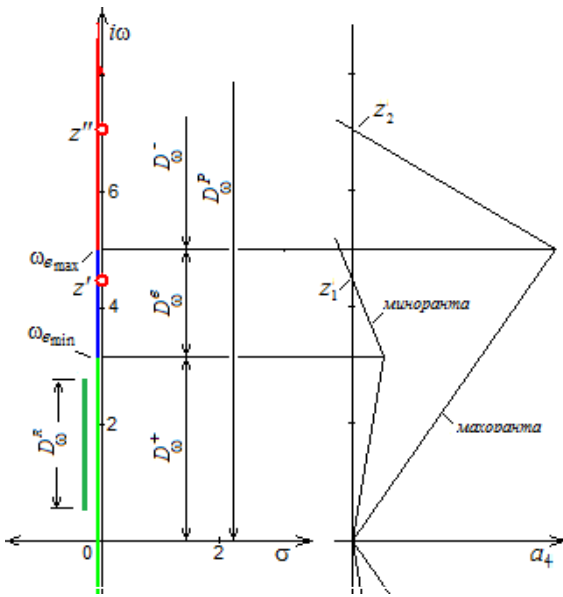


Рисунок 2 – Распределение функции параметра

После формирования для (1) уравнений корневого годографа и параметра [2], строится диаграмма распределения функции параметра вдоль границы устойчивости (рисунок 2) на основе метода, описанного в [2]. Согласно рисунку 2, реальная область пересечений D_{ω}^R границы устойчивости ветвями годографов семейства (2) располагается в пределах области D_{ω}^{\pm} возрастания функции параметра. Поэтому, при данной конфигурации системы имеются интервалы параметров

(коэффициентов (2)), при которых

система устойчива, а для проверки устойчивости всего семейства достаточно одного полинома с постоянными коэффициентами из (2):

$$s^4 + \bar{a}_1 s^3 + \underline{a}_2 s^2 + \underline{a}_3 s + \bar{a}_4 = p_1(s),$$

который после подстановки всех физических параметров системы принимает вид:

$$s^4 + 0,499s^3 + 0,0717s^2 + 0,0016s + 96,9e^{-6} = p_1(s) \quad (3)$$

и устойчивость которого гарантирует устойчивость всего семейства (2). Поскольку полином (3) устойчив, семейство (1), (2), а, следовательно, и система управления электроприводом в целом является устойчивой.

Заключение. Контур тока должен иметь расчетные полюса в 4 и более раз превосходящие по модулю расчетные полюса контура скорости, тогда корни полинома $N_s(q)$ обеспечат требуемое качество в широком диапазоне изменения параметра b_p объекта управления.

1. Джури Э. Инноры и устойчивость динамических систем. М.: Наука. 1979. – 304 с.

2. Nesenчук А.А. Investigation of behavior and synthesis of interval dynamic systems' characteristic polynomials based on the root locus portrait parameter function / А.А. Nesenчук // American Control Conference (ACC 2018): Proceedings of the 60th American Control Conference, Milwaukee, USA, June 27–29, 2018 / – Milwaukee, 2018. – P. 2041 – 2046.